

<http://www.geojournals.cn/dzxb/ch/index.aspx>

水鈣榴石———种富含鐵的水柘榴石*

曹 菜 龍

水柘榴石(hydrogarnet)在國內尚未見記載。有关文献曾报道內蒙小松山橄欖岩含鈣鋁榴石^[1]。1961年作者到該区进行地質工作，重新采集了矿物标本。携回室內用化学方法試驗，見矿物易溶于酸，且含許多結構水。于是注意到鈣鋁榴石应无此種性質，繼續研究后确定这种矿物是水柘榴石。而且，我国小松山所产水柘榴石与国外已知水柘榴石成分都不同。矿物中 Fe_2O_3 含量很高，是一个新变种，命名为水鈣榴石，因其化学組成相當于含水的鈣榴石。外文名可譯为 Hydrograndite。

一、水鈣榴石的地質產狀

水鈣榴石产于橄欖岩相內。小松山橄欖岩为含斜长石的单斜輝石橄欖岩，主要由貴橄欖石(Fo_{60})、普通輝石、斜长石和金云母組成。橄欖石占 80% 左右，已完全蛇紋石化。单斜輝石未經蝕变，都很新鮮。斜长石为拉长石(An_{65})，大部分已次生变化，偶見殘余原生矿物。橄欖岩为典型的包橄結構。

水鈣榴石在橄欖岩中浸染状分布，象造岩矿物。一般含量約 2%，个别岩相达到 14%。薄片觀察，水鈣榴石呈他形顆粒，分布在橄欖石間隙。有时，当水鈣榴石与斜长石接触，見到斜长石被水鈣榴石交代，顆粒邊緣變得不規則。殘留的斜长石性質已受变化，但仍保留清晰的双晶条紋(照片 1)。水鈣榴石常与单斜輝石共同产出，两种矿物接触界綫平直整齐，其特点类似斜长石与单斜輝石的关系，象是共結結構(照片 2)。水鈣榴石的粒度有变化。在正常的橄欖岩相中，水鈣榴石含量較少，粒度为 2 毫米左右；局部岩相，水鈣榴石含量較多，粒度达 6—8 毫米以上。

二、物理和光学性質

肉眼觀察，水鈣榴石顏色較淺，呈淡綠色。橄欖岩黑綠色顏色很深，因此在岩石手標本上容易把水鈣榴石區別出來。仔細觀察，水鈣榴石顏色略有变化，顆粒細者顏色較深；同一顆粒邊緣部分顏色深，中間顏色較淺。說明水鈣榴石的成分性質有一定变化。

水鈣榴石不显晶形。玻璃至油脂光泽。硬度大于小刀。斷口不規則，有时見不完全的貝壳状断口。白色至浅綠色条痕。不透明。

薄片中水鈣榴石无色透明，有时呈淡棕色。矿物顆粒不显內部結構，但常見模糊的云雾状微粒以及与邊緣垂直的裂隙条帶。正交偏光下矿物全黑，表明为均質性。

用油浸法測，初步確定水鈣榴石折光率 $N = 1.825—1.830$ (汪緝安，俞理宝測定)。水

* 本文曾在第一屆全國矿物、岩石地球化学学术會議上宣讀。

鈣榴石的比重用比重瓶法測定, $D = 3.454 \pm 0.002$ (俞理寶測定)。

為了研究 H_2O 在水鈣榴石中的賦存形式, 我們選了樣品做差熱分析和熱重分析。差熱曲線(圖1)顯示, 水鈣榴石在 $705^\circ C$ 時出現明顯的吸熱谷, 在 $440^\circ C$ 和 $900^\circ C$ 時見兩個放熱峯。國外, 1941 年 D. 別梁金和 V. 彼得羅夫^[3] 做了八面矽鈣鋁石差熱分析, 差熱曲

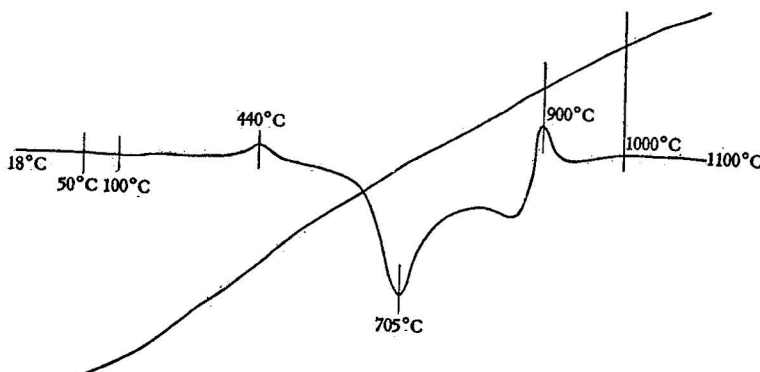


圖 1 水鈣榴石差熱分析曲線
(分析者馮惠羣)

綫在 $690^\circ C$ 有一吸熱谷, $870^\circ C$ 有一放熱峯, 與我們的結果相似, 但八面矽鈣鋁石未見 $440^\circ C$ 的放熱峯。熱重分析用萬分之一天秤稱樣 1 克, 烧前儀器天秤盤重 5.1745 克, 烧後為 5.1207 克, 烧失量為 0.0538 克。 H_2O 在礦物中的一克百分含量據此計算為 5.4%, 這個數據與單礦物全分析的結果完全吻合。熱重曲線(見圖 2)顯示, 水鈣榴石當溫度在

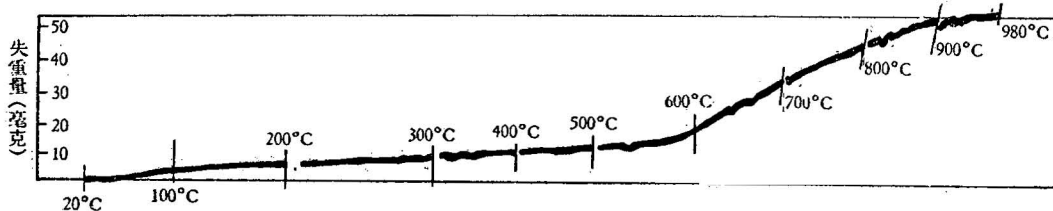
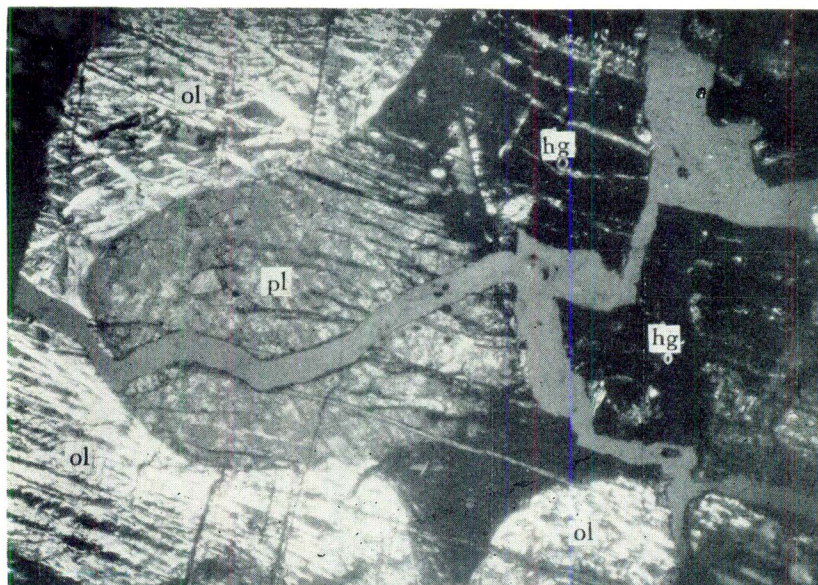


圖 2 水鈣榴石熱重分析曲線
(分析者吳美清)

$100^\circ C$ 以上緩慢脫水, 但主要脫水區間是 600 — $900^\circ C$ 。這表明 H_2O 在水鈣榴石中主要地以結構水的形式存在, 差熱曲線 $705^\circ C$ 吸熱谷代表結構水脫水溫度。推測差熱分析 $440^\circ C$ 放熱峯可能代表礦物中少量的二價鐵氧化轉變為三價鐵時的溫度, 為了檢查, 我們曾取少量樣品在電爐中恆溫 $480^\circ C$ 加熱一小時後, 做簡項化學分析。分析結果, 同一樣品加熱前含 FeO 1.79%, 加熱後為 0.61% (分析者: 梁偉義)。 FeO 在加熱後大量減少, 无疑由於轉變為 Fe_2O_3 , 所以證明我們的推測是正確的。加熱後礦物中仍含 0.61% FeO , 可能是由於加熱時間較短, 反應未達完全平衡的緣故。差熱分析所示 $900^\circ C$ 放熱峯應代表水鈣榴石相變溫度。

水鈣榴石的 X-光粉晶分析, 所得衍射線譜如照片 3 所示。經過計算晶胞 $a = 12.063 \pm 0.005 \text{ \AA}$, 與鈣鐵榴石晶胞參數甚相似。1942 年 A. 帕布斯特^[13] 曾指出八面矽鈣鋁石及無



照片1 斜长石被水钙榴石交代，残余颗粒仍保留明显的双晶条纹
 pl—斜长石， hg—水钙榴石， ol—蛇纹石化橄榄石
 (薄片， + 偏光 $\times 33.5$)



照片2 水钙榴石分布在蛇纹石化橄榄石的间隙与单斜辉石共同产出，两者界线平直整齐
 ol—蛇纹石化橄榄石， hg—水钙榴石 py—单斜辉石
 (薄片， + 偏光 $\times 33.5$)



照片3 水钙榴石 X-光粉晶衍射图 (分析者张月明)

色榴石与钙铝榴石的线条相似，认为无色榴石具有(211)弱线条，钙铝榴石没有；它们与钙铁榴石的区别是后者发育(620)强线条。水钙榴石与八面硅钙铝石及无色榴石的区别是发育(620)线条；与钙铁榴石等比较主要特征是(631)和(532)线条比较清楚。水钙榴石粉晶数据和其他矿物线条强度列于表1：

表1 水钙榴石X-光粉晶数据及其他矿物线条强度比较表

水 钙 榴 石			钙铁榴石*	钙铝榴石*	无色榴石*	八面硅钙铝石*
<i>hkl</i>	<i>d</i>	<i>l</i>	<i>I</i>	<i>I</i>	<i>I</i>	<i>I</i>
211		0	0.00	0.02	0.39	VW
220	4.3	2	0.26	0.10	0.10	—
400	3.02	8	7.82	3.34	4.55	S
420	2.705	10	10	10	10	VS
332	2.59	2	0.55	0.86	0.34	W
422	2.48	7	5.49	2.59	1.40	M
431	2.37	4	1.49	1.42	1.85	M-W
521	2.22	4	1.41	1.73	2.62	M
440		0	0.00	0.42	0.38	VW
532	1.967	5	1.07	1.02	1.88	M-S
611	1.92	3	1.20	1.58	2.10	M-S
620	1.853	2	1.68	0.00	0.59	VW
631	1.78	4	0.00	0.13	0.01	—
444	1.743	3	1.11	1.59	2.02	M
640	1.677	6	2.95	3.98	2.91	M-S
642	1.614	10	9.76	4.90	5.50	S
800	1.511	4	2.16	1.38	1.58	M
822	1.42	2				
840	1.349	5				
664	1.287	5				
763	1.239	3				
770	1.217	4				
862	1.175	2				
864	1.1195	8				
10·4·2	1.101	8				
880	1.0655	7				
884	1.044	5				
12·2·0	0.99	5				

* 据 A. 帕布斯特 (1942)^[13]

水钙榴石X-光衍射线条都有 $h + k + l = 2n$ 关系，说明矿物为体心格子。A. 帕布斯特^[13]曾指出八面硅钙铝石和无色榴石的空间群与柘榴石相同，为 O_h^{10} 。水钙榴石与其他水柘榴石结构相似，矿物的空间群同样应是 O_h^{10} 。A. 帕布斯特认为水柘榴石中 OH^- 离子代替了 O^{2-} 的位置，彭志忠认为矿物中四个 OH^- 离子代替一个硅氧四面体，作者接受彭志忠同志的意见。

三、水钙榴石的化学成分

化学方法试验，水钙榴石易溶于盐酸。为了做化学分析，单矿物样品都用双目镜挑

純，主要去掉伴生的单斜輝石和蛇紋石化橄欖石，最后曾用显微鏡检查。水鈣榴石一个样品的化学全分析和另一样品簡項分析的結果列于表 2：

表 2 水鈣榴石化学分析結果表

标本号	SiO ₂	TiO ₂	Al ₂ O ₃	Cr ₂ O ₃	Fe ₂ O ₃	FeO	MnO	MgO	CaO	K ₂ O	Na ₂ O	P ₂ O ₅	H ₂ O ⁺	H ₂ O ⁻	F	Cl	揮发分	总计
C099-g	34.01	痕	8.45	0.20	18.28	1.72	0.12	9.96	21.47	0.10	0.30	0.17	5.29	0.18	—	0.06	0.12	100.43
C099-g ₁					19.87	1.08							0.05	6.30	0.37	0.14	0.12	

(分析者：中国科学院地質研究所六室)

簡項分析数据与全分析結果比較，說明全分析数据是正确的，但水鈣榴石的化学成分，例如 Fe₂O₃、H₂O⁺ 含量等有一定变化。水鈣榴石分子式根据水柘榴石通式：



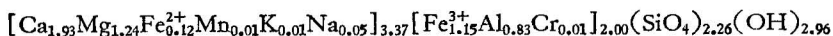
計算列于下表(表 3)：

表 3 水鈣榴石的分子式計算

化学成分	重量(%)	分子比	原子比	晶胞中原子数 (4)×M M = 5.0403
(1)	(2)	(3)	(4)	(5)*
SiO ₂	34.01	0.5653	0.5653	3—0.7399
Al ₂ O ₃	8.45	0.0826	0.1652	0.8326
Cr ₂ O ₃	0.20	0.0013	0.0026	0.0131
Fe ₂ O ₃	18.28	0.1145	0.2290	1.1542
FeO	1.72	0.0239	0.0239	0.1204
MnO	0.12	0.0017	0.0017	0.0085
MgO	9.96	0.2470	0.2470	1.2449
CaO	21.47	0.3828	0.3828	1.9294
K ₂ O	0.10	0.0010	0.0020	0.0100
Na ₂ O	0.30	0.0048	0.0096	0.0483
H ₂ O ⁺	5.29	0.2936	4×0.1468	4×0.7399
H ₂ O ⁻	0.18			
P ₂ O ₅	0.17			
Cl	0.06			
揮发分	0.12 100.43			

$$* M = \frac{2}{0.1652 + 0.026 + 0.2290} = \frac{2}{0.3968} = 5.0403$$

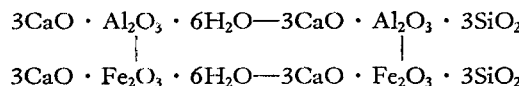
水鈣榴石的分子式为：



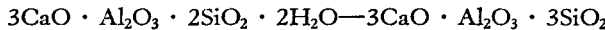
四、水鈣榴石与其他水柘榴石的关系

水柘榴石的化学組成与柘榴子石有密切关系，矿物中 H₂O 分子含量以 2 与 1 的比例

代替 SiO_2 分子。1906 年 F. 考納^[5]第一次发现八面硅钙铝石 (hibschite)，矿物中含有二个分子的结构水。但他以为矿物中 $\text{CaO} : \text{Al}_2\text{O}_3 = 1:1$ 与钙长石相似，提出了一个错误的分子式： $\text{CaO} \cdot \text{Al}_2\text{O}_3 \cdot 2\text{SiO}_2 \cdot 2\text{H}_2\text{O}$ 。1920 年 W. 弗普^[6]发现无色榴石 (plazolite)，矿物分子式为 $3\text{CaO} \cdot \text{Al}_2\text{O}_3 \cdot 2(\text{SiO}_2, \text{CO}_2) \cdot 2\text{H}_2\text{O}$ ，但当时认为象方钠石。1937 年，A. 帕布斯特^[7]用 X-光粉晶分析首次证明无色榴石的晶体结构与钙铝榴石相同。1941 年 E. 弗林特^[7]研究波特兰水泥中人工化合物 $3\text{CaO} \cdot \text{R}_2\text{O}_3 \cdot 6\text{H}_2\text{O}$ 。第一次提出了水柘榴石 (hydrogarnet) 这个名词，确定 $3\text{CaO} \cdot \text{R}_2\text{O}_3 \cdot 6\text{H}_2\text{O}$ 与钙铁榴石为连续固熔体系列：



提出其中包括了水柘榴石自然矿物——无色榴石。同年 D. 别染金和 V. 彼得罗夫^[8]指出 F. 考纳发现的八面硅钙铝石的成分应是 $3\text{CaO} \cdot \text{Al}_2\text{O}_3 \cdot 2\text{SiO}_2 \cdot 2\text{H}_2\text{O}$ 。他们对八面硅钙铝石与无色榴石进行比较后，提出另一个新名称“似绿榴石” (grossularoid) 包括这两个矿物，以说明它们和钙铝榴石的密切关系，但是 1950 年后，M. 亥依等人^[10]曾提出无色榴石是不纯的八面硅钙铝石，而无色榴石发表在后，应作为废名处理。1943 年 C. 赫藤^[9]研究新西兰异剥钙榴辉长岩 (rodingite) 时，确定岩石中所称钙铝榴石实为水柘榴石，矿物成分介于上述八面硅钙铝石与钙铝榴石之间。当时提出了“水绿榴石” (hydogrossular) 这个名词，专指下列过渡系列自然矿物：

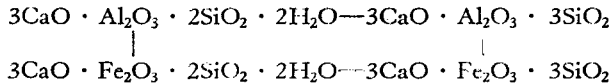


其中包括了八面硅钙铝石和无色榴石两个端元。之后，1957 年 B. 麦森报道了水绿榴石的新产地。1959 年 J. 弗兰克尔^[8]研究布什维尔德岩体中著名的南非玉 (South Africa Jade)，发现实际是水绿榴石。

综合有关文献说明，国外已知水柘榴石都属于水绿榴石，即都相当于含水的钙铝榴石。它们已知产状有两种。一种为泥灰岩与中酸性侵入岩或喷出岩的接触变质矿物，例如八面硅钙铝石和无色榴石为这种产状，这两个矿物都有良好的晶形，前者为八面体，后者为十二面体。另一种为基性岩中次生蚀变矿物，主要交代斜长石形成，新西兰异剥钙榴辉长岩和南非苏长岩及斜长岩中的水绿榴石都属于这种产状。

我国小松山水钙榴石与国外水柘榴石不同，产于超基性橄榄岩中。国外已知水柘榴石含 Fe_2O_3 都很低，如八面硅钙铝石 Fe_2O_3 含量最高，仅为 3.70%，而我国水钙榴石富含 Fe_2O_3 ，达 18.28% 以上。

显然，水钙榴石的化学组成中，不但含有水绿榴石分子，而且含有较多“水钙铁榴石”分子，即相当于含水的钙榴石，属于水绿榴石和“水钙铁榴石”过渡系列：



为便于说明，以小松山水钙榴石与国外水柘榴石成分性质列表对比如下 (表 4)：

由表 4 对比表明，由于化学组成不同，水钙榴石的各种性质，例如比重、折光率、晶胞大小等也都与国外水柘榴石有显著区别。

过去，国外学者曾根据水绿榴石研究指出，水柘榴石性质随 SiO_2 与 H_2O 分子比例的

表4 水鈣榴石与国外水柘榴石成分性质对比表

成分性质		1.本区 水鈣榴石	2.南非(布什維爾德) 水綠榴石	3.新西兰 水綠榴石	4.美国(加里 福尼亞) 无色榴石	5.苏联 (高加索) 八面硅鈣鋁石
化 学 成 分	SiO ₄	34.01	36.55	37.60	34.48	25.06
	TiO ₂	0.12		0.03		0.67
	Al ₂ O ₃	8.45	23.44	22.25	19.87	24.63
	Cr ₂ O ₃	0.20	0.25	0.10		
	Fe ₂ O ₃	18.28	1.27	0.50	0.61	3.70
	FeO	1.72	0.52	0.55	0.85	0.15
	MnO	0.12	0.04	痕	0.02	0.08
	MgO	9.96	0.79	痕	2.09	2.13
	CaO	21.47	36.06	38.40	37.40	40.13
	K ₂ O	0.10			0.01	
	Na ₂ O	0.30			0.02	
	H ₂ O ⁺	5.29	1.16	1.20	4.65	9.04
	H ₂ O ⁻	0.18			0.23	
	P ₂ O ₅	0.17				
	Cl	0.06				
总计		100.43	100.20	100.99	100.24	99.99
地质产状		单斜輝石橄欖岩次生矿物	苏长岩及斜长岩次生矿物	同左	异剥鈣榴輝長岩次生矿物	花崗閃長岩与泥灰岩接触变质矿物
共生矿物		斜长石,蛇紋石化橄欖石,单斜輝石,金云母綠泥石,磷灰石	紫蘇輝石,斜长石,黝帘石	同左	异剥輝石,斜长石等	硅鈣鎂石,单硅鈣石,硅灰石,透輝石,符山石,柘榴子石
结晶习性	他形	同左	同左	同左	十二面体	八面体
硬度	>5				6.5	6.0
比重	3.454±0.002	3.488	3.52	3.35	3.129	3.06±0.03
折光率	1.825—1.830	1.728±0.002		1.7021±0.0003	1.710	1.681
晶胞(Å)	12.063±0.005	11.859±0.001			12.14±0.01	12.00±0.02
化学性质	易溶于酸	同左	同左	同左	同左	同左
资料来源	本文	J.弗兰克尔 ^[8] 1959	同左	C.赫希 ^[9] 1943	W.弗普 ^[10] 1920	D.別染金等 ^[8] 1941

不同作規律的变化。水鈣榴石的特征說明，水柘榴石的性质也隨 Fe₂O₃ 与 Al₂O₃ 分子比例的变化而作有規律的变化。据此可以确定：水柘榴石折光率隨 Fe₂O₃ 的增加而增高，隨 H₂O⁺ 的增加而降低，变化范围介于 1.681 (八面硅鈣鋁石) 与 1.895 (鈣鐵榴石) 之間；水柘榴石比重也具有同样关系，因此变化范围应介于 3.06 (八面硅鈣鋁石) 与 3.75 (鈣鐵榴石) 之間；水柘榴石的晶胞参数則隨 Fe₂O₃ 和 H₂O⁺ 含量的增加而增大，最低值应稍大于鈣鋁榴石 (11.840 Å)，最高值应是水鈣鐵榴石 (未知) 的晶胞大小。

五、水鈣榴石的成因

前面，我們曾根据矿物结构上的証据提出，水鈣榴石是一种次生蝕变矿物，由交代斜

长石而成。这里根据有关的实验进一步说明。

1950 年 S. 哈吞和 J. 约德^[15]用高温高压试验钙铝榴石成分的人工玻璃和 H₂O 的平衡关系,以求人工合成钙铝榴石。结果指出,当存在 H₂O 的条件下,用 2,000 大气压,温度达 1,000℃ 都不能合成钙铝榴石。但是,这次实验得到了水柘榴石系列与钙长石、黄长石、硅灰石等矿物之间的相平衡关系(图 3)。因此可以相信,斜长石在水热溶液作用下能够转变为水柘榴石。

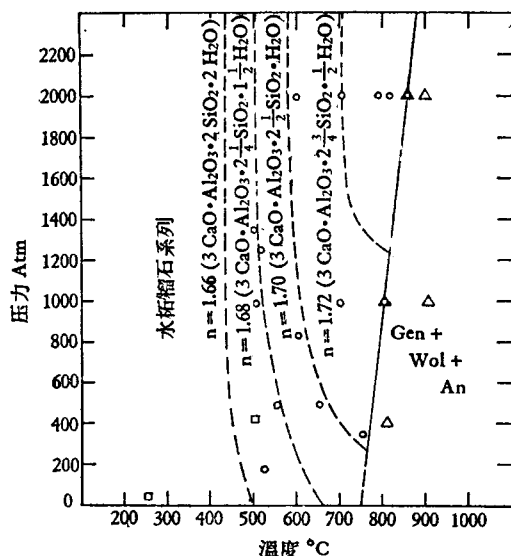
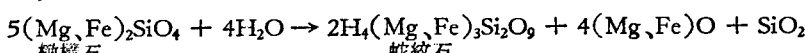


图 3 钙铝榴石—H₂O 系压力—温度图

(S. 哈吞等 1950)^[1]

An——钙长石, Gen——黄长石, Wol——硅灰石。

大家知道,橄榄石的蛇纹石化一般按下列反应式进行:



也就是说,橄榄石蛇纹石化过程中会析出大量 FeO 和 MgO,而且在高温下水作为氧化剂将使 FeO 氧化转变为 Fe₂O₃。显然,由于水柘榴石化与蛇纹石化同时发生,而且斜长石与橄榄石紧密共生接触,因此,热液中析出的铁镁组分将加入到水柘榴石中去。本区水柘榴石由斜长石蚀变形成,但富含铁镁成分,正是由于这种原因。前面曾指出,水柘榴石 Fe₂O₃、MgO 等含量具有一定变化。例如,水柘榴石颗粒边缘与蛇纹石化橄榄石接触部分,颜色比较绿,含铁镁组分较高;水柘榴石颗粒愈细,即与周围蛇纹石接触比面积愈大, Fe₂O₃ 等含量也愈高,反之水柘榴石愈粗大, Fe₂O₃ 等含量降低。举例如在橄榄岩中另有一种呈小块状的水柘榴石,大于 20 毫米,颜色白至微绿。为了比较我们也选了单矿物样品做化学全分析,结果列于下表:

分析结果显示,这种水柘榴石中含 Fe₂O₃ 为 12.32%, MgO 为 4.56%,都比较低。水柘榴石中铁镁成分的上述变化特征,说明我们的假设是正确的。

1) 图中化学成分参考 C. 皮斯脱里^[14](1960)资料。

实验表明,水柘榴石形成和稳定的温度范围很低,从 300°C—800°C 左右;含水愈多,水柘榴石稳定的温度愈低。同时, E. 弗林特^[7](1941)作人工化合物 3CaO·R₂O₃·6H₂O 合成试验,确定 Fe₂O₃·R₂O₃ 比例愈高,化合物形成温度愈低。本区水柘榴石含 H₂O 量约为 1.5 分子, Fe₂O₃ 含量也较高。据此推测,水柘榴石的生成温度应在 500°C 以下。

前面说过,在橄榄岩中,水柘榴石与蛇纹石化橄榄石紧密共生。关于蛇纹石化的条件,根据 MgO—SiO₂—H₂O 系高温高压实验(N. 鲍温 1949^[4]),已经确定最高温度为 500°C,即与水柘榴石完全相似。因此可以肯定,斜长石的水柘榴石化作用发生在热液蚀变阶段,并且在同一条件下与橄榄石蛇纹石化同时形成的。

編 號	化 學 成 分	分析成分													揮 發 分	總 計			
		SiO ₂	TiO ₂	Al ₂ O ₃	Cr ₂ O ₃	Fe ₂ O ₃	FeO	MnO	MgO	CaO	K ₂ O	Na ₂ O	P ₂ O ₅	H ₂ O ⁺	H ₂ O ⁻				
C158—g		34.66	—	15.41	0.12	12.32	2.04	0.29	4.56	26.06	0.10	0.60	0.19	3.39	0.24	0.04	0.08	0.09	100.19

(分析者：中国科学院地质研究所六室)

六、結 束 語

本区水鈣榴石的存在暗諭着，自然界可能找到水鈣榴石尚未发现的端元——水鈣鐵榴石($3\text{CaO} \cdot \text{Fe}_2\text{O}_3 \cdot 2\text{SiO}_2 \cdot 2\text{H}_2\text{O}$)。另一方面，小松山水柘榴石的发现說明，水柘榴石应是一种比較普遍的矿物，今后将出現更多新产地。对于过去未經詳細研究鉴定过的柘榴子石分布区，应注意检查可能是水柘榴石，尤其是“鈣鋁榴石”和“玉”更應重視，国外也有許多例子說明，原来报道为“鈣鋁榴石”和“玉”的矿物，其实是水柘榴石。

本文曾得到涂光熾先生的具体指导，陈光远先生、彭志忠同志曾提供寶貴的意見，在此表示感謝。文中許多化学分析和物理分析由我所各研究室协助完成，作者謹向有关同志致謝。

參 考 文 獻

- [1] 李 璞. 1956. 中国已知几个超基性岩体的觀察. 地質集刊, 第1号.
- [2] 曹荣龙. 1963. 某地台型铬矿床成矿作用的物理化学原理. 中国地质学会1962年第廿二届学术年会論文选集, 矿床专册.
- [3] Belyankin, D. S. and Petrov, V. P. 1941. The grossularoid group (Hibschite, plazolite), Am. Mineral. V. 26, 450—453.
- [4] Bowen, N. L. and Tuttle, O. F. 1949. The system $\text{MgO}-\text{SiO}_2-\text{H}_2\text{O}$, Bull. of Geol. Soc. of Am. V. 60, 439—460.
- [5] Cornu, F. 1906. Hibschite, ein neues kontaktmineral, Tschermaksm., Pet Mitt, 25, 246—268.
- [6] Foshag, W. F. 1920. Plazolite, a new mineral, Am. Mineral. V. 5, 183—185.
- [7] Flint, E. P., Havord, F. M. and Wells, L. S. 1941. Hydrothermal and X-ray studies of the garnet-hydrogarnet series and the relationship of the series to hydration products of portland cement, Jour. of Reserch of Nat. Bur. stand. V. 21, 13—33.
- [8] Frankel, J. J. 1959. Uvarovite garnet and South African Jade (hydrogrossular) from the Bushveld complex, Transvaal Am. Mineral. V. 44, 565—591.
- [9] Hutton, C. O. 1943. Hydrogrossular, a new mineral of the garnet-hydrogarnet series, Trans. of Royel Soc. of New Zealand V. 73, 174—180.
- [10] Hey, M. H. 1955. An index of mineral species & varieties, Second edition p. 562.
- [11] Mason, B. 1957. Larnite, scawtite and hydrogrossular from Tokatoka, New Zealand Am. Mineral. V. 42, 379—392.
- [12] Pabst, A. 1937. The crystal structure of plazolite, Am. Mineral. V. 22, 861—868.
- [13] Pabst, A. 1942. Reexamination of hibschite, Am. Mineral. V. 27, 783.
- [14] Pistoruis, C. W. and Kennedy, G. C. 1960. Stability relations of grossularite and hydrogrossularite at high temperature and pressures, Am. Jour. of Science V. 258, 247—257.
- [15] Yoder, H. S., Jr., 1950. Stability relations of grossularite, Jour. Geol. V. 58, 221—253.

HYDROUGRANDITE—A NEW VARIETY OF HYDROGARNET FROM HSIAOSUNGSHAN

TSAO YUNG-LUNG

(Abstract)

Hydrougrandite, a ferric hydrogarnet, was found in Hsiaosungshan peridotite with serpentinized olivine, augite, plagioclase and phlogopite. It occurs as anhedral crystal and sparsely disseminated in host rocks. It replaces plagioclase.

Hydrougrandite is light green, with a vitreous luster. It has a hardness >5 , its specific gravity is 3.454 ± 0.002 . Optically, hydrougrandite is isotropic, with index of refraction $1.825\text{--}1.830$. Cell constant $a=12.063 \pm 0.005\text{\AA}$. The ten strongest lines of the X-ray powder pattern of hydrougrandite are: $3.02(8)$, $2.705(10)$, $2.48(7)$, $1.967(5)$, $1.677(6)$, $1.614(10)$, $1.349(5)$, $1.1195(8)$, $1.101(8)$, $1.0655(7)$, (\AA). The differential thermo-analysis of hydrougrandite shows three distinct characteristic thermal effects, one of which is endothermal at 705°C , and the remaining two exothermal at 440°C and 900°C respectively.

Hydrougrandite is soluble in HCl. Chemical analysis gives: SiO_2 34.01, Al_2O_3 8.45, Cr_2O_3 0.20, Fe_2O_3 18.28, FeO 1.72, MnO 0.12, MgO 9.96, CaO 21.47, K_2O 0.10, Na_2O 0.30, P_2O_5 0.17, H_2O^+ 5.29, H_2O^- 0.18, Cl 0.06. The chemical formula thus derived is $[\text{Ca}_{1.93}\text{Mg}_{1.24}\cdots]_{3.37} [\text{Fe}_{1.15}^{3+}\text{Al}_{0.83}\cdots]_{2.00} (\text{SiO}_4)_{2.26} (\text{OH})_{2.96}$.

Since hydrougrandite is rich in Fe_2O_3 , it is distinctly different from the other known hydrogarnets, namely, hydrogrossular, hibschite and plazolite (impure hibschite), which are different varieties of hydrous grossularite. The chemical composition of hydrogarnet referred to in this paper corresponds to both hydrous grossularite and hydrous andradite, and may be named "Hydrougrandite".